



سنجش از دور

,

GIS ایران



سال سوم، شماره دوم، تابستان ۱۳۹۰
Vol.3, No.2, Summer 2011
۸۷-۹۶

سنجش از دور و GIS ایران
Iranian Remote Sensing & GIS

اعتبارسنجی پروفایل‌های دما و دمای نقطه شبنم سنجنده مادیس با استفاده از داده‌های رادیوسوند در تهران

فریبا سادات حلیمی^{*}, علی‌اکبر آبکار^۲, امیرحسین مشکوکاتی^۳, علی صادقی نایینی^۴

۱. کارشناس ارشد هواشناسی، دانشگاه آزاد اسلامی، واحد علوم و تحقیقات تهران
۲. عضو هیئت علمی گروه سنجش از دور و فتوگرامتری، دانشکده مهندسی نقشه‌برداری، دانشگاه صنعتی خواجه نصیرالدین طوسی
۳. عضو هیئت علمی دانشگاه آزاد اسلامی، واحد علوم و تحقیقات تهران
۴. کارشناس ارشد سنجش از دور، سازمان فضایی ایران

تاریخ پذیرش مقاله: ۱۳۹۰/۱۰/۱۸

تاریخ دریافت مقاله: ۱۳۹۰/۰۲/۲۵

چکیده

اطلاع از پروفایل‌های قائم دما و دمای نقطه شبنم در زمرة مهم‌ترین پارامترها در مدل‌های عددی پیش‌بینی وضع آب‌وهوا جای دارند. در زمان حاضر در ایران پروفایل‌های قائم دما و دمای نقطه شبنم با رادیوسوندها تهیه می‌شوند؛ اما به دلیل گرانی رادیوسوندها، ارسال آنها به جو تنها محدود به زمان‌ها و مکان‌های خاصی است. به همین دلیل به کار بردن روش‌های جدید با قابلیت هزینه کم و پوشش وسیع برای تولید پروفایل‌ها اهمیت بسیار دارد. امروزه تلاش می‌شود تا با استفاده از ماهواره‌ها و فناوری سنجش از دور، کاسته‌های مربوط به اندازه‌گیری‌های رادیوسوند مرتفع گردد. در این تحقیق از محصول MYD07-L2 تصاویر سنجنده مادیس ماهواره Aqua با قدرت تفکیک ۵ کیلومتر برای استخراج پروفایل‌های دما و دمای نقطه شبنم استفاده شده است. برای این کار با برنامه‌نویسی در محیط IDL، پروفایل‌های ایستگاه مهرآباد تهران از محصول MYD07-L2 سنجنده مادیس برای روزها و شب‌های مختلفی از سال ۲۰۰۷ استخراج گردید و سپس میزان Bias و RMSE داده‌های مذکور با داده‌های رادیوسوند محاسبه و مقایسه شد. نتایج نشان دادند که داده‌های پروفایل دمایی مادیس مطابقت مناسبی با داده‌های رادیوسوند دارند؛ و برای آنها Bias کل ۱/۹۵ و ۲/۴۱ RMSE درجه کلوین، برای سطوح بالاتر از ۷۸۰ میلی‌بار، به دست آمد. در سطوح بالاتر از ۷۸۰ میلی‌بار پروفایل‌های دمای نقطه شبنم اختلاف بیشتری را با داده‌های رادیوسوند نشان دادند و برای آنها نیز مقدار Bias کل ۵/۷۷ و ۶/۵۸ RMSE.

کلیدواژه‌ها: مادیس، رادیوسوند، پروفایل دما، نقطه شبنم.

* نویسنده مکاتبه کننده: تهران، خیابان آفریقا، خیابان سایه، پلاک ۳۴، سازمان فضایی ایران، تلفن: ۰۲۰۲۹۹۹۵

Email: Halimi_university@yahoo.com

۱- مقدمه

اندازه‌گیری پارامترهای جوی در ارتفاعات مختلف، ارتفاع‌سنجدی^۱ جو نامیده می‌شود. در رادیوسوندها با نصب ادوات هواشناسی بر روی بالون‌ها و ارسال آنها به درون جو و ثبت لحظه به لحظه دما، دمای نقطه شبنم^۲، سمت و سرعت باد در هنگام صعود ارتفاع‌سنجدی انجام می‌شود. رادیوسوندها دو بار در روز در ساعت‌های ۰۰:۰۰ و ۱۲:۰۰ به وقت گرینویچ به جو ارسال می‌شوند. در ماهواره‌ها نیز ارتفاع‌سنجدی با ثبت انرژی گسیلی مادون قرمز حرارتی از لایه‌های مختلف جو به دست می‌آید. در این تحقیق پروفایلهای قائم دما و دمای نقطه شبنم از سنجنده مادیس استخراج شده و میزان اعتبار آنها با داده‌های رادیوسوند مورد بررسی قرار گرفته است.

سی‌من و همکاران (۲۰۰۳)، الگوریتم استخراج پروفایلهای جوی را از تصاویر سنجنده مادیس تهیه کردند. این سنجنده که بر روی ماهواره‌های آکوا و ترا قرار گرفته است، می‌تواند پروفایلهای دما و دمای نقطه شبنم جو را در ۲۰ سطح فشاری تهیه کند. آنها سپس پروفایلهای مادیس را با پروفایلهای رادیوسوند و چند سنجنده ماهواره‌ای دیگر برای ۸۰ مورد آسمان بدون ابر مقایسه کردند. طبق نتایج به دست آمده، پروفایلهای دما و دمای نقطه شبنم با پروفایلهای به دست آمده از رادیوسوند و همچنین پروفایلهای دیگر سنجنده‌های ماهواره‌ای از قبیل AIRS در توافق بودند. کیم و همکاران (۲۰۰۴)، برای ۶ ایستگاه رادیوسوند در کشور کره پروفایلهای دما و دمای نقطه شبنم ماهواره را با رادیوسوند مقایسه کردند. نتایج آنها مقدار RMSE میانگین ۱/۶ درجه کلوین برای دما در سطح بالای ۸۰۰ هکتوپاسکال و ۲/۲ کلوین را برای سطوح پایینی جو نشان داد. همچنین نتایج حاکی از آن بودند که دقت داده‌های دمای نقطه شبنم با ارتفاع کاهش می‌یابد؛ و مقدار RMSE ماکریم در سطوح پایینی جو ۳/۵ درجه به دست آمد. سوزا و همکاران (۲۰۰۶)، با انجام این تحقیق در بزرگیل نشان دادند که

۲- مواد و روش‌ها**۲-۱- معرفی سنجنده مادیس**

مادیس (MODIS)^۳ نوعی تصویربردار اسپکترورادیومتر با قدرت تفکیک متوسط است و یکی از سنجنده‌های اصلی و مهم برنامه سامانه مشاهده زمین (EOS)^۴ سازمان فضایی امریکا بهشمار می‌آید. ماهواره ترا که سنجنده مادیس بر روی آن قرار دارد در تاریخ ۱۸ دسامبر ۱۹۹۹ به فضا پرتاب شد. هدف از ارسال این سنجنده به فضا، پایش جهانی جو، مطالعه زیست‌بوم‌های زمینی و اقیانوس‌ها بود. در تاریخ ۴ ماه مه سال ۲۰۰۲ سامانه مادیس بر روی ماهواره آکوا نیز قرار گرفت. مادیس یک دستگاه اسپکترورادیومتر با ۳۶ باند طیفی در محدوده ۰/۴-۱۴/۳ میکرومتر است. قدرت تفکیک باندهای سنجنده مادیس متفاوت‌اند، به طوری که دارای ۲ باند ۲۵۰ متری، ۵ باند ۵۰۰ متری

1. Sounding

نقطه شبنم دمایی است که اگر هوا در فشار ثابت تا آن درجه سرد شود، بخار آب آن اشباع می‌گردد.

2. Moderate Resolution Imaging Spectroradiometer
3. Earth Observation System

اعتبارسنجی پروفایل‌های دما و دمای نقطه شبنم سنجنده مادیس با استفاده از داده‌های رادیوسوند در تهران

استفاده شده است (جدول ۱). ماسک ابری مادیس (محصول MYD-35) نیز برای غربال‌زنی ابر مورد نیاز است (Seemann et al., 2006). پروفایل‌های جوی مادیس شامل چندین پارامتر هستند، همچون وزن کل ازن، پایداری جوی، پروفایل‌های دما و دمای نقطه شبنم و بخار آب جو که در سطح پردازشی ۲ تهیه و روزانه ۴ بار دریافت می‌شوند. پروفایل‌های دما و دمای نقطه شبنم سنجنده مادیس در ۲۰ سطح فشاری که شامل سطوح ۱,۰۰۰، ۳۰۰، ۴۰۰، ۵۰۰، ۶۲۰، ۷۰۰، ۷۸۰، ۸۵۰، ۹۲۰، ۹۵۰، ۲۵۰، ۲۰۰، ۱۵۰، ۱۰۰، ۷۰، ۵۰، ۳۰، ۲۰، ۱۰ و ۵ میلی‌بار هستند، با قدرت تفکیک ۵ کیلومتر که در ساعتها یا زمان‌های بدون ابر تهیه می‌شوند. شکل ۱ نمونه‌ای از اطلاعات موجود در محصول MYD07-L2 را نشان می‌دهد و شکل ۲ نمونه‌ای از تصاویر MYD07-L2 را.

و ۲۹ باند ۱۰۰۰ متری هستند (Parkinson et al., 2000).

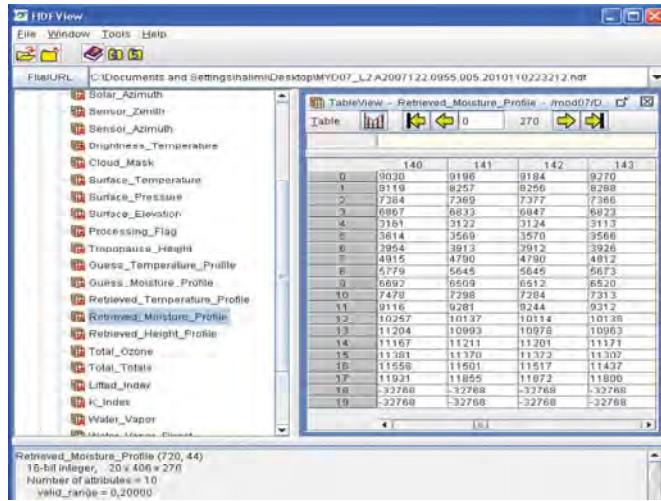
این سنجنده دارای پوشش وسیع با عرض تصویربرداری ۲۳۳۰ کیلومتر است، به گونه‌ای که یک گذر مادیس از روی ایران می‌تواند کل کشور را پوشش دهد.

۲-۲- تولید پروفایل‌های جو به وسیله سنجنده مادیس

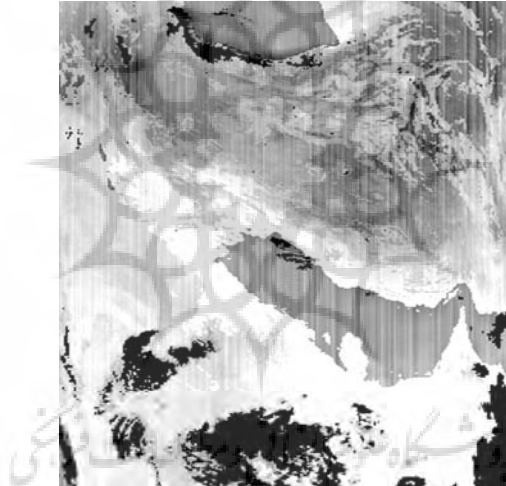
تولید پروفایل دمای جو از انرژی گسیلی مادون قرمز حرارتی ثبت شده به وسیله ماهواره‌ها را نخستین بار کینگ در سال ۱۹۵۶ پیشنهاد کرد و بدین ترتیب نخستین دستگاه ارتفاع‌سنجی ماهواره‌ای SIRS-A بر روی ماهواره Nimbus-3 در سال ۱۹۶۹ به فضا پرتاب شد. در الگوریتم استخراج پروفایل‌ها از تصاویر مادیس از رادیانس‌های کالیبره شده با میدان دید ۱ کیلومتر از داده‌های کانال‌های ۲۰، ۲۲-۲۵، ۲۷-۲۹ و ۳۰-۳۶

جدول ۱. مشخصات طیفی باندهای مورد استفاده مادیس در محصول MYD07-L2

پهنهای باند(μm)	شماره باند	کاربرد اولیه جوی
۴/۴۸۲-۴/۵۴۹	۲۵	پروفایل دما
۶/۵۳۵-۶/۸۹۵	۲۷	پروفایل رطوبت
۷/۱۷۵-۷/۴۷۵	۲۸	ازن
۸/۴۰۰-۸/۷۰۰	۲۹	
۹/۵۸۰-۹/۸۸۰	۳۰	دمای سطح زمین
۱۰/۷۸۰-۱۱/۲۸۰	۳۱	
۱۱/۷۷۰-۱۲/۲۷۰	۳۲	
۱۲/۱۸۵-۱۳/۴۸۵	۳۳	
۱۳/۴۴۸۵-۱۳/۷۸۵	۳۴	
۱۳/۷۸۵-۱۴/۰۸۵	۳۵	پروفایل دما
۱۴/۰۸۵-۱۴/۳۸۵	۳۶	



شکل ۱. نمایش نمونه‌ای از اطلاعات موجود در تصاویر MYD07-L2



شکل ۲. نمونه‌ای از تصاویر MYD07-L2

۱۲:۰۰ یا ۰۰:۰۰ (به وقت گرینویچ) صفر بود و با پارامتر $N=0$ مشخص شده بود، از کلیه ماههای سال ۲۰۰۷ انتخاب گردید. سپس محصول MYD07-L2 متناظر با آنها از سایت LAADS Web به نشانی <http://ladsweb.nascom.nasa.gov/data/search.html> تهیه شد.

علاوه بر آن، داده‌های رادیوسوند متناظر نیز از پایگاه اینترنتی دانشگاه وایومینگ به نشانی <http://weather.uwyo.edu/upperair/sounding.html>

۳-۲- تهیه داده‌ها

در این پژوهش برای استخراج پروفایل‌های دما و دمای نقطه شبنم، از تصاویر پردازشی سطح ۲ مادیس با عنوان MYD07-L2 استفاده شده است. با توجه به اینکه پروفایل‌ها در روزهای بدون ابر تولید می‌شوند، با مراجعه به فایل SC-Data (تهیه شده از سازمان هواسناسی) مشخص گردید که ۴۰ روز بدون ابر بوده است. مقدار ابر موجود در آسمان، که در ساعت‌های

اعتبارسنجی پروفایل‌های دما و دمای نقطه شبنم سنجنده مادیس با استفاده از داده‌های رادیوسوند در تهران

که از آن جمله‌اند: فشار بخار آب، رطوبت نسبی، نقطه شبنم، و مانند اینها. در این تحقیق رطوبت بر حسب پارامتر نقطه شبنم به کار رفته است.

برای تعیین دمای نقطه شبنم در ایستگاه‌های هواشناسی از داده‌های دمای خشک و دمای تر استفاده می‌شود. نرمافزارهای هواشناسی از قبیل Met tab با داشتن این داده‌ها، دمای نقطه شبنم را محاسبه می‌کنند. روابط مختلفی برای محاسبه دمای نقطه شبنم وجود دارد که از معروف‌ترین آنها، معادله مگنوس است.

رابطه (۲)

$$T_d = \frac{b\gamma(T, RH)}{a - \gamma(T, RH)}$$

رابطه (۳)

$$\gamma(T, RH) = \frac{aT}{b + T} \ln(RH / 100)$$

$$a = 17 / 271$$

$$b = 237 / 7^\circ C$$

در این رابطه، T دما بر حسب درجه سلسیوس است و RH رطوبت نسبی است که از رادیوسوند برگرفته می‌شوند.

۵-۱- روش مقایسه داده‌ها

برای مقایسه پروفایل‌های مادیس و رادیوسوند و بررسی اعتبار داده‌های مادیس، از روش محاسبه خطای Bias و RMSE استفاده شده است. Bias عبارت است از مقدار حدس زده شده یکی از کمیت‌ها به‌وسیله سامانه اندازه‌گیر، منهای مقدار واقعی آن. در اینجا فرض بر این است که داده‌های اندازه‌گیری شده به‌وسیله رادیوسوند، مقادیر واقعی و داده‌های اندازه‌گیری شده به‌وسیله مادیس مقادیر آزمایشی را تشکیل می‌دهند.

رابطه (۴)

$$Bias = X - Y$$

که در آن X مقدار واقعی و Y مقدار آزمایشی است. RMSE، یا به عبارتی ریشه میانگین مربع خطای معياری معمول برای اندازه‌گیری اختلاف بین مقادیر

تھیه شد. با بررسی پروفایل‌های مادیس و رادیوسوند موجود، پروفایل‌هایی که این ویژگی‌ها را داشتند انتخاب شدند:

- کمترین اختلاف زمانی با داده‌های رادیوسوند؛ و
- بیشترین سطوح فشاری مشترک.

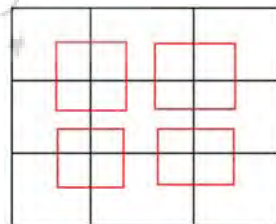
از این رو در نهایت ۲۰ تصویر برای انجام تحقیق برگزیده شد. کلیه داده‌های مادیس دارای مختصات جغرافیایی‌اند. هر کدام از اطلاعات موجود در هر تصویر ۴۰۶ × ۲۷۱ در قالب یک ماتریس MYD07-L2 گنجانده شده‌اند که ابعاد هر کدام از پیکسل‌ها ۵ × ۵ کیلومتر است. با توجه به اینکه در نرمافزارهای نمایشگر تصاویر، مقادیر رقومی تصویر با شماره پیکسل گزارش می‌شود، به منظور در اختیار داشتن پیکسل‌های دارای مختصات، با برنامه‌نویسی در محیط IDL داده‌های ایستگاه مهرآباد تهران استخراج گردید و سپس با اعمال ضرایب متادینا بر داده‌ها – که رابطه آن بدین شکل است – پروفایل‌های مطلوب به دست آمد:

رابطه (۱)

$$Y = (X + 15000) \times 0.01$$

که در آن X مقدار درجه خاکستری پیکسل مادیس است و Y مقدار نهایی دما بر حسب کلوین.

برای پیشگیری از وقوع خطأ و امکان اینکه مختصات وارد شده برای ایستگاه مهرآباد تهران در لبه پیکسل قرار گیرد، از پیکسل‌های اطراف در پنجره 3×3 میانگین گیری شده است (شکل ۳).



شکل ۳. متوسط‌گیری از پیکسل‌های مجاور

۴-۲- محاسبه دمای نقطه شبنم

پارامترهای متنوعی برای سنجش رطوبت وجود دارند،

طبق جدول ۲، حدود ۹۴ درصد داده‌ها دارای Bias کمتر از ۵ درجه هستند. برای بررسی علل Bias، تأثیر عواملی مانند اختلاف زمان بین داده‌ها (شکل ۵)، سرعت باد سطح زمین (شکل ۶)، و همچنین تأثیرات ناشی از فصل یا زمان دریافت داده ماهواره‌ای (روز یا شب) مطالعه و بررسی گردید.

جدول ۲. محدوده Bias داده‌های دما براساس درصد آنها

درصد	محدوده Bias دما (درجه)
۶۸	کمتر از ۲ درجه
۱۶	۲-۳
۸/۳	۳-۴
۱/۷	۴-۵
۶	بیشتر از ۵

جدول ۳. نتایج آماری نهایی پروفایل‌های دما

مقدار	متغیر
۲۰	تعداد پروفایل‌ها
۱/۹۵	کل Bias
۲/۴۱	RMSE

واقعی و مقادیر پیش‌بینی شده با یکی از روش‌ها یا مدل‌هاست. از روش‌های خوب برای اندازه‌گیری میزان دقت است و RMSE، کل اختلافات را در عددی واحد جمع آوری می‌کند. پارامتر مورد بحث از این معادله به دست می‌آید که در آن N تعداد داده‌هاست:

$$\text{رابطه (۵)}$$

$$\text{RMSE} = \left(\frac{1}{N} \sum_{i=1}^N (X_i - Y_i)^2 \right)^{\frac{1}{2}}$$

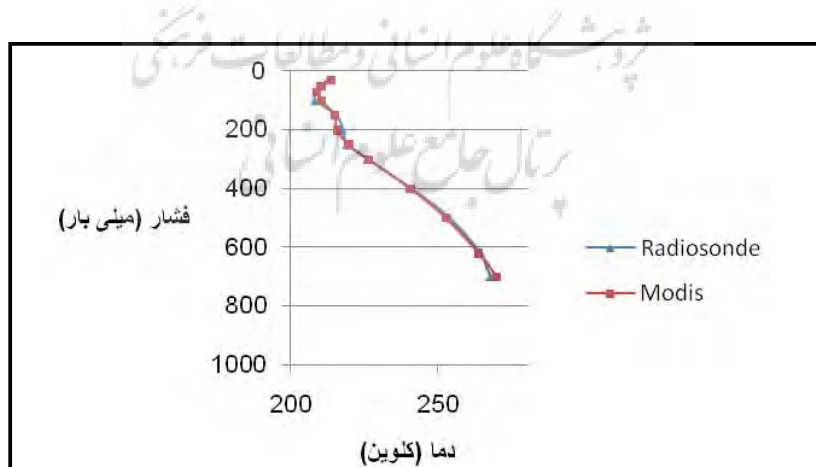
۳- نتایج

برای مقایسه داده‌های Radiosonde و Madis، داده‌های سطوح ۷۸۰، ۷۰۰، ۶۲۰، ۴۰۰، ۳۰۰، ۲۵۰، ۲۰۰، ۱۵۰، ۱۰۰، ۷۰، ۵۰، ۳۰ و ۲۰ مقایسه شدند و سپس با رسم نمودار پروفایل‌ها و محاسبه خطای Bias و RMSE، تأثیر عوامل مختلف در وقوع خطأ بررسی گردید.

۳-۱- نتایج مقایسه پروفایل‌های دما

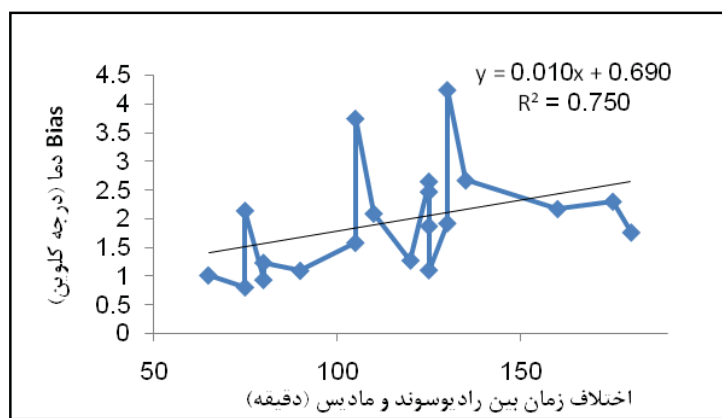
در شکل ۴ نمونه‌ای از نتایج مقایسه پروفایل‌های دما نشان داده شده است.

نتایج آماری برای ۲۰ سری پروفایل دما و ۶ سطح فشاری، یا به عبارتی ۱۲۰ داده آماری، در جدول‌های ۲ و ۳ درج شده است:

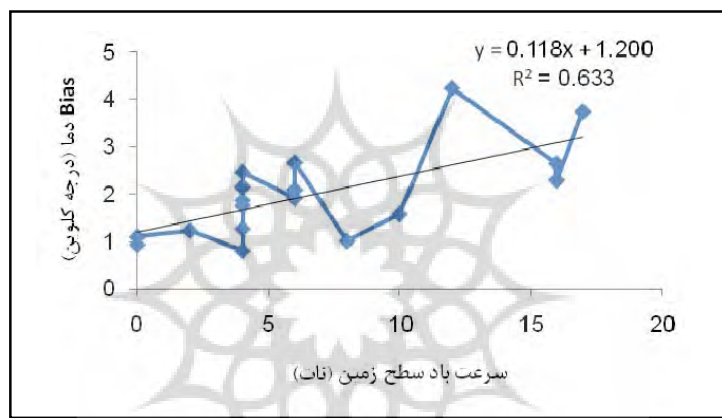


شکل ۴. مقایسه پروفایل دمای Madis و Radiosonde در شب ۱۲ فوریه سال ۲۰۰۷

اعتبارسنجی پروفایل‌های دما و دمای نقطه شبنم سنجنده مادیس با استفاده از داده‌های رادیوسوند در تهران



شکل ۵. تأثیر اختلاف زمانی بین داده‌ها در میزان Bias میانگین هر پروفایل



شکل ۶. تأثیر سرعت باد در میزان Bias میانگین هر پروفایل

کرد. تغییرات دمایی در حوالی ظهر، به همین خاطر بیشتر از شب است. طبق جدول ۴، در سطوح فشاری مشترک داده‌های بررسی شده، به طور میانگین حداً کثر ۲/۵ درجه Bias میان، میزان Bias زیاد می‌شود.

نتایج نشان داد که ارتباط معناداری بین مقدار Bias و فصل وجود ندارد و لیکن زمان دریافت داده‌های ماهواره‌ای در میزان Bias تأثیرگذار است، به گونه‌ای که از میان ۲۰ پروفایل بررسی شده، ۹ پروفایل را پروفایل‌های شب تشکیل می‌دهند که آنها از دارای مینیمم مقدار Bias بودند. آنها دیگر ۱۱ پروفایل (داده‌های ظهر بودند) که از جمله دلایل آن می‌توان به تغییرات زاویه تابش خورشید در روز اشاره

جدول ۴. میانگین Bias در سطوح فشاری ۲۰۰ تا ۷۰۰ میلی‌بار

فشار	متوجه Bias
۲۰۰	۲/۵۰
۲۵۰	۱/۹۶
۳۰۰	۱/۲۲
۴۰۰	۱/۱۵
۵۰۰	۱/۶۵
۷۰۰	۱/۷۴

جدول ۷. مقدار میانگین Bias دمای نقطه شبنم در سطوح ۴۰۰ و ۵۰۰ و ۷۰۰

فشار	میانگین Bias
۴۰۰	۶/۵۳
۵۰۰	۵/۴۸
۷۰۰	۷/۷۹

طبق جدول ۷، سطح ۷۰۰ میلی‌باری، مقدار Bias بزرگ‌تری را از مرتبه ۸ درجه نشان می‌دهد. در اینجا باز هم تأثیر عواملی مانند اختلاف زمان، سرعت باد، فصل، زمان دریافت داده ماهواره‌ای (روز یا شب) در میزان Bias داده‌ها بررسی شده است (شکل‌های ۷ و ۸).

همان‌گونه که نمودار شکل (۷) نشان می‌دهد، ارتباط معناداری بین اختلاف زمان و Bias وجود ندارد. این موضوع می‌تواند براثر تغییرات زیاد دمای نقطه شبنم در جو با زمان باشد.

طبق نمودار ارائه شده در شکل ۸ به طور کلی با افزایش سرعت باد سطح زمین، میانگین Bias نیز زیاد می‌شود.

با توجه به بررسی ۲۰ سری پروفایل نقطه شبنم، ارتباط معناداری در بین فصل و میزان Bias به چشم نمی‌خورد. همچنین با بررسی تأثیر زمان دریافت داده‌های ماهواره‌ای مشخص گردید که برخلاف پروفایل‌های دما، ارجحیتی در داده‌های روز یا شب دمای نقطه شبنم مادیس وجود ندارد.

۳-۲- نتایج مقایسه پروفایل‌های دمای نقطه شبنم

نتایج آماری برای ۲۰ سری پروفایل دمای نقطه شبنم و ۳ سطح فشاری مشترک، یا به عبارتی ۶۰ داده آماری، در جدول‌های ۵ تا ۷ ارائه شده‌اند.

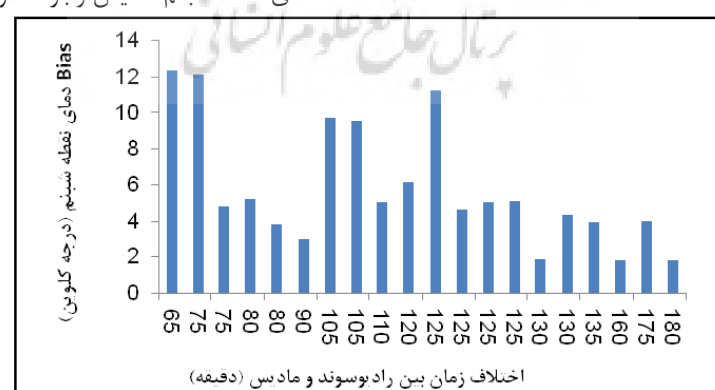
جدول ۵. محدوده Bias دمای نقطه شبنم و درصد آنها

درصد	محدوده دمایی (درجه)
کمتر از ۴	۴
۲۵	۴ - ۷
۱۶/۷	۷ - ۱۰
۱۸/۳	بیشتر از ۱۰

مجموعاً ۸۱/۷ درصد داده‌ها دارای اختلاف دمای نقطه شبنم کمتر از ۱۰ درجه‌اند؛ و به عبارت دیگر ۱۸/۳ درصد داده‌ها Bias بزرگ‌تر از ۱۰ درجه دارند که رقم بالایی است.

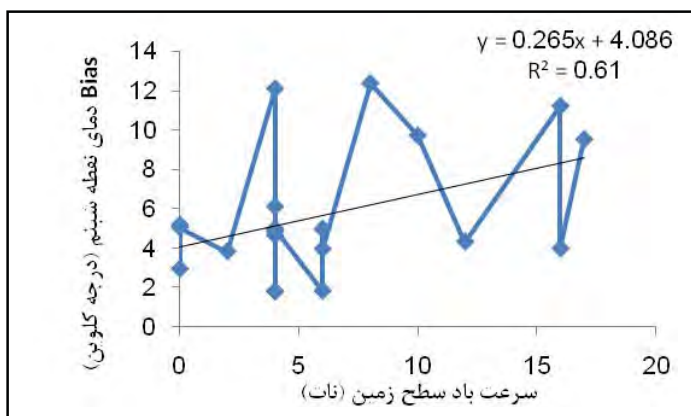
جدول ۶. نتایج آماری نهایی پروفایل‌های دمای نقطه شبنم

تعداد پروفایل‌ها	متغیر	مقدار
۲۰	کل Bias	۵/۷۷
۶/۵۸	RMSE	



شکل ۷. ارتباط بین اختلاف زمان و Bias میانگین پروفایل‌های دمای نقطه شبنم

اعتبارسنجی پروفایل‌های دما و دمای نقطه شبنم مادیس با استفاده از داده‌های رادیوسوند در تهران



شکل ۸. مقدار Bias میانگین داده‌های دمای نقطه شبنم بر حسب سرعت باد سطح زمین

حدود ۱۰۰ کیلومتر از مکان اولیه است و این خود سبب ایجاد خطای زیادی در گزارش پروفایل دمایی یک منطقه می‌شود.

- پروفایل‌های دمایی مادیس در شب دارای Bias کمتری در مقایسه با پروفایل‌های روز هستند. این در حالی است که در پروفایل‌های دمای نقطه شبنم ارجحیتی وجود ندارد.

۵- پیشنهادها

- ترتیبی اتخاذ شود تا برای دوره‌ای آزمایشی، با هماهنگی سازمان هوشناسی کشور و سازمان فضایی ایران، رادیوسوند همزمان با گذر ماهواره ترا یا آنوا به جو ارسال گردد و این تحقیق دوباره انجام شود.

- پروژه اعتبارسنجی برای مادیس و سنجنده‌های هوشناسی ماهواره‌ای از قبیل Airs و آنها دیگر در شهرهای دیگر ایران نیز انجام پذیرد.

- از داده‌های مدل و داده‌های رادار برای انجام پروژه اعتبارسنجی استفاده شود.

- در زمان حاضر مختصات مکانی اطلاعات ارسالی رادیوسوند به ایستگاه مخابره نمی‌شود. پیشنهاد این است که همزمان با ارسال داده‌های مورد نیاز، مختصات لحظه‌ای طول و عرض جغرافیایی رادیوسوند نیز مخابره گردد.

۴- بحث و نتیجه‌گیری

بررسی ۲۰ پروفایل دمایی مادیس در این تحقیق نشان داد که اینها انطباق مناسبی با داده‌های رادیوسوند دارند، به گونه‌ای که از بین ۱۲۰ داده آماری دما، ۶۸ درصد داده‌ها دارای Bias کمتر از ۲ درجه‌اند. ۲۶ درصد داده‌ها دارای Bias بین ۲ تا ۵ درجه‌اند، و تنها ۶ درصد داده‌ها Bias بزرگ‌تر از ۵ درجه دارند. همچنین پروفایل‌های نقطه شبنم در قیاس با پروفایل دمای محیط، Bias خیلی بیشتری دارند. در ۴۰ درصد داده‌ها میزان Bias کمتر از ۴۰ درجه، در ۴۲ درصد بین ۱۰-۴ درجه، و در ۱۸ درصد بیشتر از ۱۰ درجه است. به طور کلی می‌توان نتایج مقایسه پروفایل‌ها را چنین خلاصه کرد:

- با افزایش اختلاف زمان بین گذر ماهواره و رادیوسوند، مقدار Bias و RMSE پروفایل دما هم زیاد می‌شود، در حالی که در مورد پروفایل‌های دمای نقطه شبنم چنین نیست و ارتباط معناداری بین آنها وجود ندارد.

- افزایش سرعت باد سطح زمین باعث افزایش Bias هر دو پروفایل می‌شود. سرعت باد به دو طریق می‌تواند در اختلاف داده‌ها تأثیر بگذارد: ۱- ایجاد تعادل در جو؛ و ۲- جابه‌جایی افقی رادیوسوند.

- یکی از معایب رادیوسوند جابه‌جایی افقی آن تا

۶- منابع

Chan, P.W., Koos, S., 2007, **Impact of Temperature and Humidity Profiles from MODIS on Microscale Modeling**, EUMETSAT Meteorological Satellite Conference, 24-28 September, Amsterdam, Netherlands.

Divakarla, M.G., Barnet, C.D., Goldberg, M.D., McMillin, L.M., Maddy, E., Wolf, W., Zhou, L., and Liu, X., 2006, **Validation of Atmospheric Infrared Sounder Temperature and Water Vapor Retrievals with Matched Radiosonde Measurements and Forecasts**, Journal of Geophysical Research, Vol 111, Page 6116.

Joro, S., 2005, **MODIS Atmospheric Profiles Product in Finland a Feasibility Study**, EUMETSAT Meteorological Satellite Conference, 19-23 September, Dubrovnik, Croatia.

Kim, Y., S., Kwon, B., H., Hong, K., M., 2004, **Vertical Temperature and Moisture Structure in Lower Atmosphere Retrieved from Terra/MODIS**, Gayana, Vol 68, 2, 319-323.

Parkinson, C.L., Greenstone, R., Spangler, S., 2000, **EOS Data Products Handbook**, Volume 2, NASA Goddard Space Flight Center, Greenbelt, Maryland.

Seemann, S.W., Borbas, E.E., Li, J., Menzel, W.P., Gumley, L.E., 2006, **MODIS Atmospheric Profile Retrieval Algorithm Theoretical Basis Document**, Cooperative Institute for Meteorological Satellite Studies, University of Wisconsin-Madison.

Seemann, S.W., Li, J., Menzel, W.P., Gumley, L.E., 2003, **Operational Retrieval of Atmospheric Temperature, Moisture, and Ozone from MODIS Infrared Radiances**, Journal of Applied Meteorology, vol 42, Issue 8, Page 1072.

Souza, R.A., Rodrigues, J., V., Ceballos, J., C., 2006, **Performance of the AIRS/AMSU and MODIS Sounding Over Natal/Brazil Using Collocated Sondes**, 15th international TOVS study conference, 4-10 October 2006, Maratea, Italy.

Zavodsky, B.T., Lazarus, S.M., Blottman, P.F., and Sharp, D.W., 2004, **Assimilation of MODIS Temperature and Water Vapor Profiles into a Mesoscale Analysis System**, 20th Conference on Weather Analysis and Forecasting, 12-16 January, Seattle, Washington.